

# การเปรียบเทียบการติดอยู่ระหว่างแขนยึดอะซิทอลเรซิน และแขนยึดโลหิตัวเหล็กกล้าไร้สนิม

## A Comparison of Retention Between Acetal Resin and Stainless Steel Wrought Wire Retentive Clasp Arms

อตสา วิจิตรพันธ์<sup>1</sup>, ปัญญา ขัมนาการ<sup>2</sup>, พิริยะ ยาริราช<sup>3</sup>  
<sup>1</sup>งานหันตกรรม โรงพยาบาลพุทธิเดช จ.บุรีรัมย์

<sup>2</sup>คณะวิชาหันตสาธารณสุข วิทยาลัยการสาธารณสุขลิเวอร์pool ของแคน  
<sup>3</sup>ภาควิชาหันตกรรมประดิษฐ์ คณะหันตแพทยศาสตร์ มหาวิทยาลัยเชียงใหม่  
Atalee Vijitpan<sup>1</sup>, Panya Khamenkhant<sup>2</sup>, Piriya Yavirach<sup>3</sup>

<sup>1</sup>Dental Department, Phutthaisong Hospital, Buriram

<sup>2</sup>Faculty of Dental Public Health, Sirindhorn College of Public Health, Khonkaen

<sup>3</sup>Department of Prosthodontics, Faculty of Dentistry, Chiang Mai University

ช.m.ทันตสาธารณสุข 2552; 30(1) : 81-86  
CM Dent J 2009; 30(1) : 81-86

### บทคัดย่อ

วัตถุประสงค์ของการศึกษานี้เพื่อเปรียบเทียบการติดอยู่ของแขนยึดอะซิทอลเรซินที่แตกต่างกันสามกลุ่ม กับ กลุ่มที่มีแขนยึดเป็นเหล็กกล้าไร้สนิม โดยแขนยึดอะซิทอล เรซินออกแบบแตกต่างกันดังนี้ กลุ่ม A ส่วนปลายอยู่ใต้เส้นสำรวจ หนึ่งในสามของความยาวทั้งหมด และจับส่วนยึดติดต้านการหลุด 0.02 นิ้ว กลุ่ม B ส่วนปลายอยู่ใต้เส้นสำรวจ หนึ่งในสามของความยาวทั้งหมดและจับส่วนยึดติดต้านการหลุด 0.03 นิ้ว กลุ่ม C ส่วนปลายอยู่ใต้เส้นสำรวจ ส่องในสามของความยาวทั้งหมดและจับส่วนยึดติดต้านการหลุด 0.03 นิ้ว ในขณะที่กลุ่ม D เป็นแขนยึดลวดดัดเหล็กกล้าไร้สนิม และจับส่วนยึดติดต้านการหลุด 0.02 นิ้ว จากการทดสอบแรงดึงแขนยึดทุกตัวด้วยเครื่องทดสอบเอนกประสงค์ พบร่วงกลุ่ม A, B, C และ D มีค่าแรงติดอยู่เท่ากับ 1.21, 1.67, 1.51 และ 6.32 นิวตันตามลำดับ ผลการวิเคราะห์ความแปรปรวนแบบจำแนกทางเดียว และการเปรียบเทียบพหุคูณด้วยวิธี ดันเนทท์ ที่สาม ซึ่งให้เห็นว่า ไม่มีความแตกต่างอย่างมีนัยสำคัญของแรง

### Abstract

The objective of this study was to compare the retention of three different groups of acetal resin retentive clasp arm and a group of stainless steel wrought wire retentive clasp arm. The differences in design of acetal resin retentive clasp arms were as follow: group A, 1/3 terminal clasp arm was below a survey line and engaged retentive undercut 0.02"; group B, 1/3 terminal clasp arm was below a survey line and engaged retentive undercut 0.03"; group C, 2/3 terminal clasp arm was below a survey line and engaged retentive undercut 0.03" where as group D, stainless steel wrought wire clasp arm engaged retentive undercut 0.02". Tensile load of each clasp arm was performed by a Universal testing machine and the retentive force for group A, B, C, and D were 1.21, 1.67, 1.51, and 6.32 N respectively. One way ANOVA and Dunnett T3

ติดอยู่ระหว่างกลุ่ม B และ C แต่มีความแตกต่างอย่างมีนัยสำคัญระหว่างทั้งสองกลุ่มนี้กับ กลุ่ม A และ D ที่ระดับนัยสำคัญ 0.05

**คำไขรหัส:** แขนยึดอะซิทอลเรซิน แขนยึดลวดดัดเหล็กกล้าไร้สนิม

multiple comparison reveal no significant difference in retentive force between group B and C but there were significant differences between these two groups and group A and D at  $p < 0.05$ .

**Keywords:** acetal resin retentive clasp arm, stainless steel wrought wire retentive clasp arm

## บทนำ

การพื้นฟูสภาพสันเหงือก ไร้ฟันบางส่วนที่มีพื้นหายห代理ชี มักนิยมใช้พื้นเทียมบางส่วนถอดได้ ซึ่งมีส่วนประกอบที่สำคัญได้แก่ แขนยึด (retentive clasp arm) ที่ทำหน้าที่ให้การติดอยู่ และให้ความเสถียรแก่ฟันเทียมโดยทั่วไปแขนยึดที่ใช้มักเป็นโลหะผสมโครงบล็อค-โครเมียม แต่ปัจจุบันของแขนยึดชนิดนี้คือแขนตะขอร้อยด้วยก้านของฟันหลักก่อให้เกิดความไม่สวยงาม จึงมีผู้พยายามหาทางแก้ไขปัญหาด้วยวิธีต่างๆ หนึ่งในวิธีเหล่านี้คือการใช้แขนยึดอะซิทอลเรซิน ซึ่งเป็นตะขอสีเหมือนฟัน แต่การศึกษาเกี่ยวกับปริมาณส่วนยึดติดด้านการหลุด (retentive undercut) และรูปแบบที่เหมาะสมสมต่อการใช้งานของแขนยึดอะซิทอล เรซินในปัจจุบันยังมีน้อย

โพลีออกซีเมทีลีน (Polyoxymethylene: POM) หรือที่รู้จักกันในชื่ออะซิทอลเรซิน เป็นสารเทอร์โมพลาสติก (thermoplastic material) ที่มีการปรับปรุงโครงสร้างภายในให้แข็งแรง ทนทาน เหนียว ด้านทานต่อการล้ำและการสึกกร่อนได้ดี ถูกสร้างโดยการเกิดโพลิเมอร์ของฟอร์มาลดีไฮด์ (polymerization of formaldehyde) โดยโพลิเมอร์ของโพลีออกซีเมทีลีนเป็นสายดัดแปลงของกลุ่มเมทิลที่เชื่อมโดยไม่เลกูลอกซิเจน บางบริษัทที่ผลิตเชื่อว่าสัดส่วนนี้มีคุณสมบัติคล้ายโลหะจากคุณลักษณะที่แข็งแรงทานนนี้จึงได้รับความนิยมนำมาใช้เป็นวัสดุดีบของผลิตภัณฑ์ที่ต้องการความแข็งแรงทานทาน ในทางทันตกรรมมีการใช้โพลีออกซีเมทีลีนหรืออะซิทอล เรซิน ตั้งแต่ปีค.ศ. 1986 เพื่อเป็นทางเลือกในการสร้างความสวยงามให้แก่ฟันเทียมบางส่วนถอดได้<sup>(1)</sup> ตลอดจนทั้งมีความเข้ากันได้กับเนื้อเยื่อช่องปาก จึงมี

การนำอะซิทอลเรซินมาใช้แทนตะขอโลหะผสมโครงบล็อค-โครเมียมในกรณีที่ผู้ป่วยมีอาการแพ้<sup>(1)</sup> Fitton และคณะ<sup>(2)</sup> ศึกษาคุณสมบัติของอะซิทอล เรซิน พบว่า หากจะสร้างเป็นแขนยึดของพื้นเทียมบางส่วนถอดได้ต้องสร้างให้มีขนาดใหญ่กว่าตะขอโลหะมากจึงจะมีการติดอยู่ที่ใกล้เคียงกัน แต่ขนาดแขนยึดที่ใหญ่ขึ้นอาจมีผลทำให้เพิ่มพื้นที่เกาะผิวฟัน เกิดการสะสมคราบจุลทรรศ์ ก่อให้เกิดโรคบริหันต์ได้ อย่างไรก็ตามพบว่า หากผู้ป่วยมีการดูแลความสะอาดอย่างถูกวิธีและได้รับการตรวจสุขภาพช่องปากตามเวลา ก็ไม่เกิดผลเสียแต่อย่างใด<sup>(3)</sup>

การศึกษาของ Turner และ Radford<sup>(4)</sup> กล่าวถึงความแข็งของตะขออะซิทอล เรซิน ว่าต้องมีขนาดความยาว 5 ม.ม. เส้นผ่าศูนย์กลาง 1.4 ม.ม. จึงจะเท่ากับตะขอโลหะผสมโครงบล็อค-โครเมียมขนาดความยาว 15 ม.ม. เส้นผ่าศูนย์กลาง 1 ม.ม. ส่วนการศึกษาเกี่ยวกับผลของการเปลี่ยนรูปของตะขอต่อการติดอยู่ Arda และ Arikan<sup>(1)</sup> กล่าวว่าตะขออะซิทอลเรซินมีการเปลี่ยนรูปน้อยกว่าตะขอโลหะผสมโครงบล็อค-โครเมียม ในขณะที่ Wu และคณะ<sup>(5)</sup> ได้ผลการศึกษาที่ตรงกันข้าม ซึ่งการเปลี่ยนรูปของตะขอส่งผลต่อการติดอยู่ที่ลดลงได้ จากการศึกษาในปัจจุบันยังไม่มีผู้ศึกษาถึงส่วนยึดติดด้านการหลุดที่เหมาะสมในการใช้แขนยึดอะซิทอล เรซิน และยังไม่มีผู้ศึกษาเบรียบเทียบกับแขนยึดลวดดัดเหล็กกล้าไร้สนิม การศึกษาในครั้งนี้จึงมีวัตถุประสงค์เพื่อศึกษาการติดอยู่ของแขนยึดอะซิทอล เรซิน ที่จับส่วนยึดติดด้านการหลุดที่มีขนาดต่างกัน รวมทั้งเบรียบเทียบแรงติดอยู่นี้กับแขนยึดโลหะเหล็กกล้าไร้สนิม

## วัสดุอุปกรณ์และวิธีการ

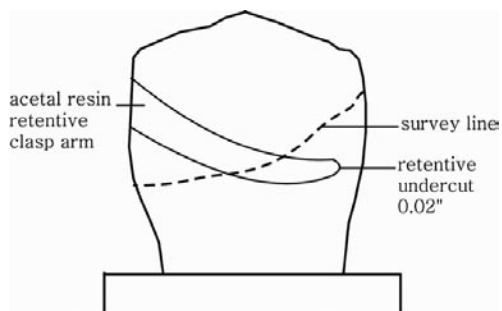
เลือกพั้นกรรมน้อยบันชี่ที่ 1 ที่ถูกถอนจากซ่องปากมนุษย์ โดยไม่มีรอยแตกหักและไม่มีวัสดุอุด นำไปจัดตำแหน่งในเบ้าโลหะทรงกระบอกเส้นผ่านศูนย์กลาง 30 ม.ม. ลึก 20 ม.ม. โดยตัวพันอยู่ห่างจากจุดศูนย์กลางของเบ้าโลหะมาด้านใดด้านหนึ่งประมาณ 3 ม.ม. และให้รอยต่อเคลือบพันและเคลือบรากรพัน (Cemento-enamel junction: CEJ) อยู่ในระดับเดียวกับขอบนของเบ้าโลหะ ก่อนจัดตำแหน่งในเบ้าโลหะ ทำการเป่าราย (sand blasting) บริเวณผิวรากรพัน แล้วล้างออกด้วยน้ำสะอาด ทากرفฟอฟอริกความเข้มข้นร้อยละ 37 (37% phosphoric acid, 3M ESPE Scotchbond™) ให้ทั่ว ทิ้งไว้ 20 วินาทีแล้วล้างออกด้วยน้ำสะอาด เป็นมาตรฐาน สารยึดติด (adhesive bonding, Prime & Bond<sup>NT</sup> nanotechnology) ให้ทั่ว เป้าลมให้เป็นแผ่นพิล์มบางๆ ขายแสง 20 วินาที ใช้เรซิโนมโพลิสิตชนิดเหลว (flowable composite resin, Tetric flow, Ivoclar vivadent) ฉีดให้ทั่วผิวรากรพันขายแสง 40 วินาที จากนั้นยึดด้านบนด้วยข้อพันกับส่วนปลายเท่งสำรวจความขาน (analyzing rod) ที่ติดกับแขนเครื่องสำรวจความขาน (surveying arm) ด้วยชี้ฟิ้งเหนี่ยว (sticky wax) โดยให้แกนพัน (long axis) ขนานกับแนวตั้ง ผสมอะคริลิกชนิดบ่มด้วยตัวเอง (self cure acrylic) เทลงในเบ้าโลหะให้ทั่วรากรพัน จนถึงระดับเดียวกับรอยต่อเคลือบพันและเคลือบรากรพัน ร่องนองอะคริลิกแข็งตัว นำพันที่ยึดกับเบ้าโลหะออกจากเครื่องสำรวจความขานแล้วขัดแต่งผิวอะคริลิกให้เรียบ (รูปที่ 1)



รูปที่ 1 แสดงพันในเบ้าโลหะที่เตรียมไว้

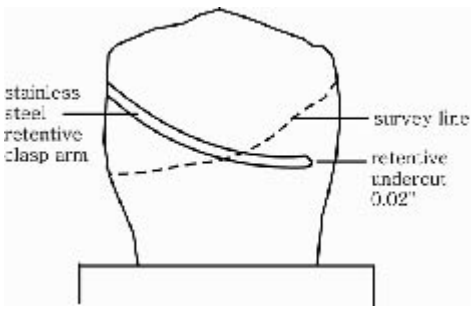
Figure 1 Tooth in metal block

จากนั้นนำเบ้าโลหะนี้เข้าเครื่องสำรวจความขาน หาตำแหน่งส่วนยึดติดด้านการหลุดขนาด 0.02 นิ้ว และ 0.03 นิ้ว ทางด้านแก้ม-ไกลักษ (mesial-buccal) และทำเครื่องหมายด้วยหยดชี้ฟิ้ง ครอบปรับพันบริเวณส่วนบ่า (shoulder) ของแขนยึดทางด้านแก้ม และด้านแขนพยุง (reciprocal clasp arm) ให้เส้นสำรวจอยู่ตรงรอยต่อหนึ่งในสามเกียงกลางพัน (middle1/3) กับหนึ่งในสามไกลด้านเหงือก (gingival1/3) และสร้างระนาบนำ (guiding plane) ขนาดกว้าง 4 ม.ม. สูง 2 ม.ม. ทางด้านไกลกลางของพัน ครอบแอ่งรับด้านบนดีวย์-ด้านไกลกลาง (disto-occlusal rest seat) ขัดแต่งพันให้เรียบและมัน ผสมวัสดุพิมพ์ปากโพลีอีเทอร์ (Polyether, Impregum soft®) ใส่ถอดพิมพ์พิเศษ พิมพ์พันและเบ้าโลหะ ร่องวัสดุแข็งตัว จึงนำร้อยพิมพ์ออกจากเบ้าโลหะ ทิ้งไว้ 20 นาที นำไปเทแบบหล่อด้วยยิปซัมชนิดแข็งพิเศษ (super hard gypsum, Velmix®) โดยแต่ละรอยพิมพ์ที่ได้จะเทแบบหล่อ 2 ครั้ง แต่ละครั้งห่างกัน 45 นาที ทำการพิมพ์เบ้าโลหะและพันอีก 9 ครั้งแล้วนำร้อยพิมพ์ที่ได้ไปเทแบบจำลองจนครบ 20 อัน แบ่งแบบจำลองออกเป็น 4 กลุ่มแล้วนำไปสร้างแขนยึดโดยช่างผู้ชำนาญ ดังนี้คือ กลุ่ม A บริเวณด้านแก้มสร้างแขนยึดอะซิทอล เรซิน ที่มีหน้าตัดตามยาว เป็นรูปครึ่งวงกลมเส้นผ่านศูนย์กลาง 2 ม.ม. โดยส่วนปลายแขนยึดอยู่ใต้เส้นสำรวจ ประมาณหนึ่งในสามของความยาวแขนยึดทั้งหมด และจับส่วนยึดติดด้านการหลุดขนาด 0.02 นิ้วนตัวพันทางด้านไกลกลาง (รูปที่ 2.1) กลุ่ม B บริเวณด้านแก้มสร้างแขนยึดอะซิทอล เรซิน ที่มีหน้าตัดตามยาวเป็นรูปครึ่งวงกลมเส้นผ่านศูนย์กลาง 2 ม.ม. โดยส่วนปลายแขนยึดอยู่ใต้เส้นสำรวจ ประมาณหนึ่งในสามของความยาวแขนยึดทั้งหมด และจับส่วนยึดติดด้านการหลุดขนาด 0.03 นิ้วนตัวพันทางด้านไกลกลาง (รูปที่ 2.2) กลุ่ม C ทำเช่นเดียวกับกลุ่ม B แต่ส่วนปลายแขนยึดอยู่ใต้เส้นสำรวจ ประมาณสองในสามของความยาวแขนยึดทั้งหมด (รูปที่ 2.3) กลุ่ม D บริเวณด้านแก้มสร้างแขนยึดລວດຕັດເຫຼືກກຳລ້າໄຮສນິມ ด້ວຍລວດເບອຣ 20 โดยส่วนปลายแขนยึดอยู่ใต้เส้นสำรวจ ประมาณหนึ่งในสามของความยาวแขนยึดทั้งหมด และจับส่วนยึดติดด้านการหลุด 0.02 นิ้วนตัวพันทางด้านไกลกลาง (รูปที่ 2.4)



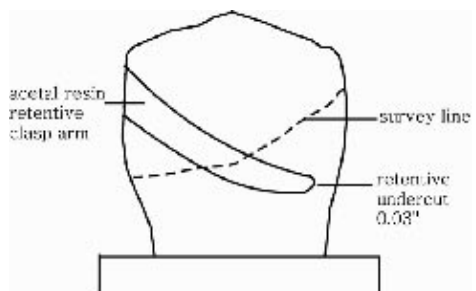
**รูปที่ 2.1** ส่วนปลายแขนยึดอะซิทอล เรซินอยู่ใต้เส้นสำรวจ 1/3 ของความยาวทั้งหมด และจับส่วนยึดติดต้านการหลุด 0.02"

**Figure 2.1** 1/3 terminal retentive clasp arm below a survey line and engaged retentive undercut 0.02"



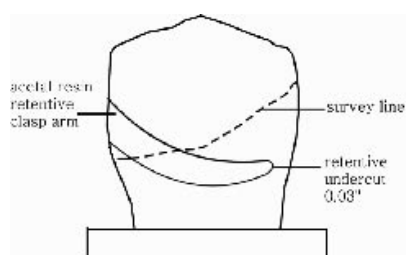
**รูปที่ 2.4** ส่วนปลายแขนยึดความตัวเหล็กกล้าไร้สนิมอยู่ใต้เส้นสำรวจ 1/3 ของความยาวทั้งหมดและจับส่วนยึดติดต้านการหลุด 0.02"

**Figure 2.4** 1/3 terminal stainless steel wrought wire retentive clasp arm below a survey line and engaged retentive undercut 0.02"



**รูปที่ 2.2** ส่วนปลายแขนยึดอะซิทอล เรซินอยู่ใต้เส้นสำรวจ 1/3 ของความยาวทั้งหมด และจับส่วนยึดติดต้านการหลุด 0.03"

**Figure 2.2** 1/3 terminal retentive clasp arm below a survey line and engaged retentive undercut 0.03"



**รูปที่ 2.3** ส่วนปลายแขนยึดอะซิทอล เรซินอยู่ใต้เส้นสำรวจ 2/3 ของความยาวทั้งหมด และจับส่วนยึดติดต้านการหลุด 0.03"

**Figure 2.3** 2/3 terminal stainless steel wrought wire retentive clasp arm below a survey line and engaged retentive undercut 0.03"

โดยทุกกลุ่มสร้างแขนยึดจำนวน 5 ตัว และสร้างส่วนพักและแขนพยุงติดกับแผ่นข้าง (proximal plate) ของโครงโลหะผสมโครบอลท์-โครเมียม รวมทั้งสร้างห่วงยึดขอเกี่ยวดิกกับโครงโลหะนี้ จากนั้นเชื่อมแขนยึดทุกตัวเข้ากับโครงโลหะ โดยให้ตำแหน่งแขนยึดอยู่ตรงตำแหน่งที่กำหนดไว้ในทุกๆ กลุ่ม (รูปที่ 3)



**รูปที่ 3** แขนยึดเชื่อมกับโครงโลหะผสมโครบอลท์-โครเมียมในกลุ่ม A B C และ D ตามลำดับ

**Figure 3** retentive clasp arms fixed to chromium-cobalt alloy frameworks in group A, B C and D respectively

เลือกโครงโลหะที่มีแขนยึดเชื่อมติดจากกลุ่ม A , B, C และ D ด้วยวิธีการสูม แล้วนำไปสามบนพื้นธรรมชาติ บนเบาะโลหะที่เตรียมไว้ในครั้งแรก ใช้ขอเกี่ยวที่ทำจากโลหะและยึดกับส่วนเคลื่อนที่ของเครื่องทดสอบเอนก

ประสิทธิ์ (Universal testing machine, Instron, Instron Corp., Canton, Mass.) เกี่ยวกับห่วงยึดของเกี่ยวที่ติดกับโครงโลหะที่ก่อสร้างมาข้างต้น (รูปที่ 4) จากนั้นให้แรงดึงจนกว่าแขนยึดหลุดออกจากตัวพื้นด้วยความเร็วครอสヘด (cross-head speed) 10 ม.ม./นาที และใช้หน่วยแรง (load cell) ขนาด 100 นิวตัน บันทึกแรงดึงสูงสุดที่ทำให้แขนยึดหลุดจากตัวพื้น (นิวตัน) ทำซ้ำตัวละ 10 ครั้ง ดังนั้นแต่ละกลุ่มจะมีค่าแรงดึง 50 ค่า



**รูปที่ 4** ขอเกี่ยวโลหะดึงห่วงยึดที่ติดกับโครงโลหะผสมโครบอลท์-โครเมียม

**Figure 4** metal hook pull the metal loop in chromium-cobalt alloy framework

### ผลการทดลอง

ค่าเฉลี่ยของแรงดึงสูงสุดที่ใช้ในการดึงแขนยึดหลุดจากพื้นเรียงจากมากไปน้อยได้แก่กลุ่ม D กลุ่ม B กลุ่ม C และกลุ่ม A โดยมีค่าเฉลี่ยคือ 6.32, 1.67, 1.51 และ 1.21 นิวตัน ตามลำดับ (ตารางที่ 1) เมื่อนำผลการทดลองที่ได้มาทดสอบทางสถิติโดยใช้การวิเคราะห์ความแปรปรวนจำแนกทางเดียว (One-way ANOVA) พบร่วมแต่กต่างในเชิงสถิติจึงทดสอบการเปรียบเทียบพหุคุณ (Multiple Comparison) ด้วยวิธีการของ Dunnett T3 พบร่วมที่ใช้ในการดึงแขนยึดอะซิทอล เรซินให้หลุดจากพื้นในกลุ่ม B และกลุ่ม C ไม่แตกต่างกันอย่างมีนัยสำคัญ แต่แตกต่างจากแขนยึดอะซิทอล เรซิน กลุ่ม A และแขนยึดลดดัดเหล็กกล้าไร้สนิม (กลุ่ม D) ที่ระดับนัยสำคัญ 0.05

**ตารางที่ 1** ค่าเฉลี่ยแรงดึงสูงสุด (นิวตัน) ที่ทำให้แขนยึดหลุดในกลุ่ม A B C และ D และค่าเบี่ยงเบนมาตรฐานในวงเล็บ

**Table 1** means of maximum tensile force in removing retentive clasp arms in group A, B, C and C and standard deviations in parenthesis

	กลุ่ม A	กลุ่ม B	กลุ่ม C	กลุ่ม D
ค่าเฉลี่ยแรงดึงสูงสุด (นิวตัน)	1.21 <sup>†</sup> (0.49)	1.67 <sup>‡</sup> (0.54)	1.51 <sup>‡</sup> (0.40)	6.32 <sup>§</sup> (3.46)

หมายเหตุ ตัวอักษรที่ต่างกันแสดงว่ามีความแตกต่างกันที่ระดับนัยสำคัญ 0.05

### บทวิจารณ์

จากการทดลอง พบร่วมแรงดึงดูดของแขนยึดอะซิทอล เรซิน กลุ่ม B และ C ไม่แตกต่างอย่างมีนัยสำคัญ ( $p<0.05$ ) แม้ว่าสวนปลายแขนยึดที่อยู่ใต้เส้นสำราญจะยาวแตกต่างกันถ้าตาม ในขณะที่หั้งสองกลุ่มนี้มีแรงดึงดูดที่ต่างจากกลุ่ม A อย่างมีนัยสำคัญ แสดงให้เห็นว่าแรงดึงดูดของแขนยึดอะซิทอล เรซินขึ้นกับปริมาณส่วนยึดติดด้านการหลุดมากกว่าความยาวของแขนยึดที่อยู่ใต้เส้นสำราญ อย่างไรก็ตาม แขนยึดอะซิทอล เรซินทุกกลุ่มมีค่าแรงดึงดูดที่ต่างกัน แขนยึดลดดัดเหล็กกล้าไร้สนิม (กลุ่ม D) อย่างมีนัยสำคัญ ( $p<0.05$ ) ซึ่งอาจเกิดจากคุณสมบัติของวัสดุที่นำมาสร้างแขนยึดมีความแตกต่างกัน จากการศึกษาของ Frank และ Nicholls<sup>(6)</sup> พบร่วมว่าการติดอยู่ที่เหมาะสมของส่วนยึดหลักสำหรับฟันเทียมบางส่วนถูกได้ขยายฐาน (distal extension partial denture) ความมีค่าการติดอยู่ระหว่าง 3-7.5 นิวตัน ซึ่งค่าการติดอยู่ของแขนยึดลดดัดเหล็กกล้าไร้สนิมอยู่ในเกณฑ์ตั้งกางล่าวคือ 6.32 นิวตัน ดังนั้นแขนยึดลดดัดเหล็กกล้าไร้สนิมจึงสามารถให้การยึดอยู่ที่พอเพียงต่อฟันเทียมบางส่วนถูกได้ขยายฐาน ในขณะที่แขนยึดอะซิทอล เรซินควรเลือกใช้ในฟันเทียมบางส่วนถูกได้ที่มีฟันรองรับหรือมีช่องว่างที่ต้องใส่ฟันไม่กว้างนัก โดยมีแขนยึดโลหะผสมโครบอลท์-โครเมียม หรือแขนยึดลดดัดเหล็กกล้าไร้สนิมให้การติดอยู่บนฟันหลักซึ่งอ่อน เพื่อให้มีการติดอยู่ที่เพียงพอ หรือใช้ในกรณีที่ฟันหลักไม่แข็ง

แรงไม่ต้องการให้มีแรงบิดดังพื้นหลักมาก เช่นพื้นหลักที่เป็นโครงสร้าง<sup>(7)</sup>

## บทสรุป

ภายใต้ข้อจำกัดของการศึกษานี้ สรุปได้ว่า

1. กรณีที่ฟันมีส่วนยึดติดต้านการหลุดในบริเวณที่เท่ากัน ไม่ว่าส่วนปลายแขนงยึดจะหกอ หรือหก เรซิน ที่อยู่ใต้เส้นสำรวจมีความยาวที่ต่างกัน ก็จะมีการติดอยู่ที่ไม่ต่างกัน
2. กรณีที่ส่วนยึดติดต้านการหลุดของแขนงยึดหกอ หรือหก เรซิน มีค่าเพิ่มขึ้น พบว่าค่าการติดอยู่ก็จะเพิ่มขึ้น
3. แขนงยึดหกอเรซินทุกแบบ มีค่าการติดอยู่น้อยกว่าแขนงยึดลวดดัดเหล็กกล้าไวร์สูนิมอย่างมีนัยสำคัญ ( $p < 0.05$ )

## กิตติกรรมประกาศ

ขอขอบคุณ คณบดีคณะทันตแพทยศาสตร์ มหาวิทยาลัยเชียงใหม่ และบริษัทเอ็กซ่า ชีแลม จำกัด ที่ให้การสนับสนุนการวิจัยครั้งนี้

ขอขอบคุณ อ.ทพ. นฤมนัส คุณนิช ที่ให้คำแนะนำในการวิเคราะห์ข้อมูลทางสถิติ อ.ทพ. เพพรัตน์ เขมาลีกาฤทธิ์ ที่ให้คำแนะนำวิธีการศึกษาและการใช้เครื่องทดสอบเอนกประสงค์

## เอกสารอ้างอิง

1. Arda T, Arikhan A. An in Vitro comparison of retentive force and deformation of acetal resin and cobalt-chromium clasps. *J Prosthet Dent* 2005; 94:267-274
2. Fitton JS, Davies EH, Howlett JA, Pearson GJ. The physical properties of a polyacetal denture resin. *Clin Mater* 1994; 7:125-129.
3. Bergman B, Hugoson A, Olsson CO. A 25 year longitudinal study of patients treated with removable partial dentures. *J Oral Rehab* 1995; 22:595-599.
4. Turner JW, Radford DR. Flexural properties and surface finishing of acetal resin denture clasps. *J Prosthod* 1999; 8:188-195.
5. Wu JC, Latta GH, Wicks RA, Swords RL, Scarbecz M. In vitro deformation of acetal resin and metal alloy removable partial denture direct retainers. *J Prosthet Dent* 2003; 90:586-590.
6. Frank RP, Nicholls JI. A study of the flexibility of wrought wire clasps. *J Prosthet Dent* 1981; 45:259-267.
7. VandenBrink JP, Wolfaardt JF, Faulkner MG. A comparison of various removable partial denture clasp materials and fabrication procedure for placing clasps on canine and premolar teeth. *J Prosthet Dent* 1993; 70:180-188.

## ขอสำเนาบทความ

ผศ.ทพ. พิริยะ ยาภิราช ภาควิชาทันตกรรมประดิษฐ์  
คณบดีคณะทันตแพทยศาสตร์ มหาวิทยาลัยเชียงใหม่ เชียงใหม่  
50202

## Reprint request:

Assistant Prof. Piriya Yavirach Department of  
Prosthodontics, Faculty of Dentistry, Chiang Mai  
University, Chiang Mai 50202